

خاستگاه ماقماتیسم آدکیتی در منطقه‌ی مسجد داغی جلفای آذربایجان شرقی

روح الله یداللهی^۱، علی کنعانیان^{*}، محمد معانی‌جو^۲، فاطمه سرجوقیان^۱، شهره حسن‌بور^۳

۱-دانشکده زمین‌شناسی دانشگاه تهران

۲-گروه زمین‌شناسی دانشگاه بوعلی سینا همدان

۳-شرکت ملی صنایع مس ایران

(دریافت مقاله: ۸۹/۴/۲۶ ، نسخه نهایی: ۸۹/۷/۲۱)

چکیده: سنگ‌های آتشفشاری و توده‌های نیمه عمیق ائوسن-الیگوسن مسجد داغی در ۳۵ کیلومتری شرق جلفا و در کنار رود ارس واقع شده‌اند. این منطقه از نظر زمین‌شناسی ساختاری بخشی از زون البرز باختری - آذربایجان است. سنگ‌های آتش‌فشاری از نوع ریولیت، داسیت تا تراکی آندزیت و سنگ‌های نیمه عمیق شامل مونزونیت پورفیری تا دیوریت پورفیری هستند. غنی‌شدگی از عنصر LILE و HFSE نسبت به REE و LREE، بیهنجاری منفی از عناصر Ti, Ta و Nb و نسبت‌های بالای Ba/Nb و Ba/Ta همراه با نمودارهای جدا کننده‌ی محیط زمین‌ساختی بیانگر شکل‌گیری این سنگ‌ها در محیطی وابسته به فرورانش در یک حاشیه‌ی فعال قاره‌ای است. ویژگی‌های ژئوشیمیایی نمونه‌ها، $\text{MgO} < \%3$, $\text{SiO}_2 > \%57$, $\text{Mn} < \%1.4$ and $\text{Yb} < 13\text{Y}$ ، نسبت‌های $\text{Sr/Y} > 40$ و $\text{La/Yb} > 20$ حاکی از شکل‌گیری آن‌ها از ماقمای آدکیتی پر سیلیس در منطقه است. این شواهد همراه با موقعیت نمونه‌ها در نمودارهای ژئوشیمیایی نشان می‌دهد که سنگ‌های مورد بررسی احتمالاً از ذوب پوسته‌ی اقیانوسی با ترکیب اکلوژیت و آمفیبولیت گارنت‌دار حاصل شده‌اند.

واژه‌های کلیدی: ماقماتیسم آدکیتی؛ فرورانش؛ پوسته‌ی اقیانوسی فرورونده؛ مسجد داغی؛ آذربایجان.

برجامانده، ^۴) جدایش بلوری و ^۵) واکنش گدازه فلزیک با گوشته حاصل می‌شوند ^[۴]. اصطلاح آدکیت، نخست فقط برای سنگ‌های اسیدی با ترکیب سنگ‌شناسی داسیت، ریولیت و آندزیت با ویژگی‌های ژئوشیمیایی چون $\text{SiO}_2 > 56\%$ ، $\text{Al}_2\text{O}_3 > \%15$, $\text{MgO} < \%3$, $\text{Al}_2\text{O}_3 > \%15$ و LILE با تهی شدگی شدیدی از Y و HREE ($\text{Y} < 18\text{Y}$ و $\text{La/Yb} < 1.9$) و نسبت بالای $\text{Sr/Y} > 40$ و $\text{La/Yb} > 20$ به کار می‌رفت ^[۳]. سپس آدکیت‌ها به ۲ نوع آدکیت‌های کم سیلیس (LSA) و آدکیت‌های پر سیلیس (HSA) تقسیم‌بندی شدند ^[۴]. آدکیت‌های پر سیلیس همان

مقدمه
در آغاز واژه‌ی آدکیت به گروهی از سنگ‌ها اطلاق می‌شد که در حاشیه‌ی صفحات همگرا از ذوب پوسته‌ی اقیانوسی گرم و جوان (کمتر از ۲۵ میلیون سال) به وجود آمده بودند ^[۱]. ویژگی ژئوشیمیایی این سنگ‌ها عبارتند از میزان بالای Al, La/Yb و نسبت بالای Y/Sr, Sr/Ba, Sr/La/Yb و بزرگی از سنگ‌ها اطلاق می‌شود که میزان Y و La/Yb و Sr/Y و Sr/La بزرگی دارند. این ویژگی‌ها برای فرایندهای مختلفی چون ^(۱) ذوب پوسته‌ی اقیانوسی فرورانده، ^(۲) ذوب خاستگاه غنی از Sr و فقیر از Y و Yb، ^(۳) ذوب در مناطق عمیق با گارنت

قبلی بوده‌اند، اکنون بررسی‌های بیشتری روی آن‌ها صورت گرفته است و با توجه به بررسی‌های انجام شده در این پژوهش به نظر می‌رسد که این سنگ‌ها ماهیت آداسیتی نشان می‌دهند. بنابر این لازم است با اتکا به یافته‌های جدید صحرایی، بررسی‌های زمین‌شناسی و ژئوشیمیایی، خاستگاه دقیق این سنگ‌ها مورد بررسی و تحلیل قرار گیرد.

روش بررسی

نخست بررسی‌های صحرایی و نمونه برداری سیستماتیک انجام گرفت و پس از تهییه مقاطع نازک به تعداد ۱۰۰ نمونه از رخنمون‌های سطحی و مغزه‌های حفاری و بررسی‌های سنگ نگاری دقیق آن‌ها، به منظور بررسی خاستگاه و تعیین جایگاه زمین ساختی سنگ‌های آتشفسانی و توده‌های نیمه عمیق، تعداد ۱۲ نمونه برای تجزیه‌ی شیمی سنگ به آزمایشگاه ALS Chemex در نمونه‌ها، به روش ICP و با استفاده از ذوب لیتیم بورات (Lithium Borate-Fusion) اندازه‌گیری شدند. این عناصر عبارتند از اکسیدهای اصلی و ۳۸ عنصر کمیاب و REE. عناصر فرعی و نادر و نادر خاکی آنالیز شده شامل .Ba, .Ho, .Hf, .Gd, .Ga, .Eu, .Er, .Dy, .Cu, .Cs, .Cr, .Co, .Ce, .Sr, .Sn, .Sm, .Rb, .Pr, .Pb, .Ni, .Nd, .Nb, .Mo, .Lu, .La, .Tb, .Ta و Zr هستند (جدول ۱).

زمین‌شناسی

منطقه‌ی مورد بررسی با مختصات طول جغرافیایی $45^{\circ}58'29''$ و $45^{\circ}56'05''$ و عرض جغرافیایی $38^{\circ}53'23''$ و $38^{\circ}52'03''$ در ۳۵ کیلومتری شرق جلفا در آذربایجان شرقی و در کنار رود ارس واقع شده است. این منطقه از نظر زمین‌شناسی ساختاری، بخشی از زون البرز باختری - آذربایجان است [۲۳]. برای تهییه اطلاعات دقیق و تعبیر و تفسیرهای لازم از گستره‌ی مورد نظر نخست نقشه‌ی زمین‌شناسی معدنی با مساحت $8/5$ کیلومتر مربع در سال ۱۳۸۲ و سپس نقشه‌ی زمین‌شناسی با مقیاس $1:20,000$ و نقشه‌ی $1:1000$ در سال ۸۴ تهییه شدند [۲۳]. این گستره در شمال شهرستان جلفا و در ۵ کیلومتری غرب سیه رود قرار دارد. شاخص‌ترین سیمای زمین‌ساختی در گستره مورد بررسی وجود چندین گسل اصلی و شکستگی‌های ناشی از توده‌های نفوذی کم عمق و سرد شدن آن‌هاست. به طور کلی

آداسیت‌های معرفی شده از طرف دفاتر و دراموند [۳] هستند در صورتی که آداسیت‌های کم سیلیس به گروهی از سنگ‌ها اطلاق می‌شود که ضمن داشتن مشخصات آداسیتی سیلیس کمتر از 60 درصد و بیش از 50 درصد داشته باشند. مارتین [۴] میزان Na_2O این سنگ‌ها را بیش از 35 درصد، نسبت $\text{K}_2\text{O}/\text{Na}_2\text{O}$ آن‌ها را حدود 4 و میزان $\text{Mg}^{\#}$ را حدود 40 معرفی کرده است. آداسیت‌های پر سیلیس براثر ذوب پوسته‌ی اقیانوسی فرورانده شده (متابزالالت‌ها در گستره‌ی پایداری گارنت) و آداسیت‌های کم سیلیس براثر ذوب بخشی گوهی گوشته‌ای دگرنهاد شده گارنت‌دار حاصل می‌شوند. پژوهشگران دیگر [۵، ۱۲-۸، ۳۲] سنگ‌های پتابسیم با نسبت بالای Y/Sr را جزء آداسیت‌های قاره‌ای (آداسیت‌های پتابسیک) به حساب آورند که براثر فرایندهای پتروزنزی متنوع حاصل می‌شوند. علاوه بر آن آداسیت‌هایی نیز در کمربند گرینستون آرکن شناسایی شده‌اند [۱۳، ۱۴، ۱۵، ۱۷، ۱۸]. ماغماتیسم دومدی از ویژگی‌های این آداسیت‌ها است و براثر ذوب عمیق بازالت با نسبت بالای Y/Sr به وجود آمدند [۴]. آداسیت‌های کم سیلیس (LSA) و آداسیت‌های پرسیلیس (HSA) در محیط‌های وابسته به فرورانش و در زمانی که لیتوسفر فرورونده جوان و گرم باشد، تشکیل می‌شوند [۳، ۲۱-۱۹]. لازم به یادآوری است فرورانش‌های کم شیب، جوان و داغ بودن پوسته‌ی اقیانوسی و فرورانش‌های سریع رژیم‌های غیر طبیعی با دمای بالا را ایجاد می‌کنند [۲۲، ۳] که موجب ذوب قطعه‌ی فرورانده و تولید مagma آداسیتی می‌شود. این سنگ‌ها آداسیت واقعی بوده که از ذوب قطعه فرورانده ریشه گرفته‌اند که دفاتر و دراموند [۳] تعریف کرده‌اند.

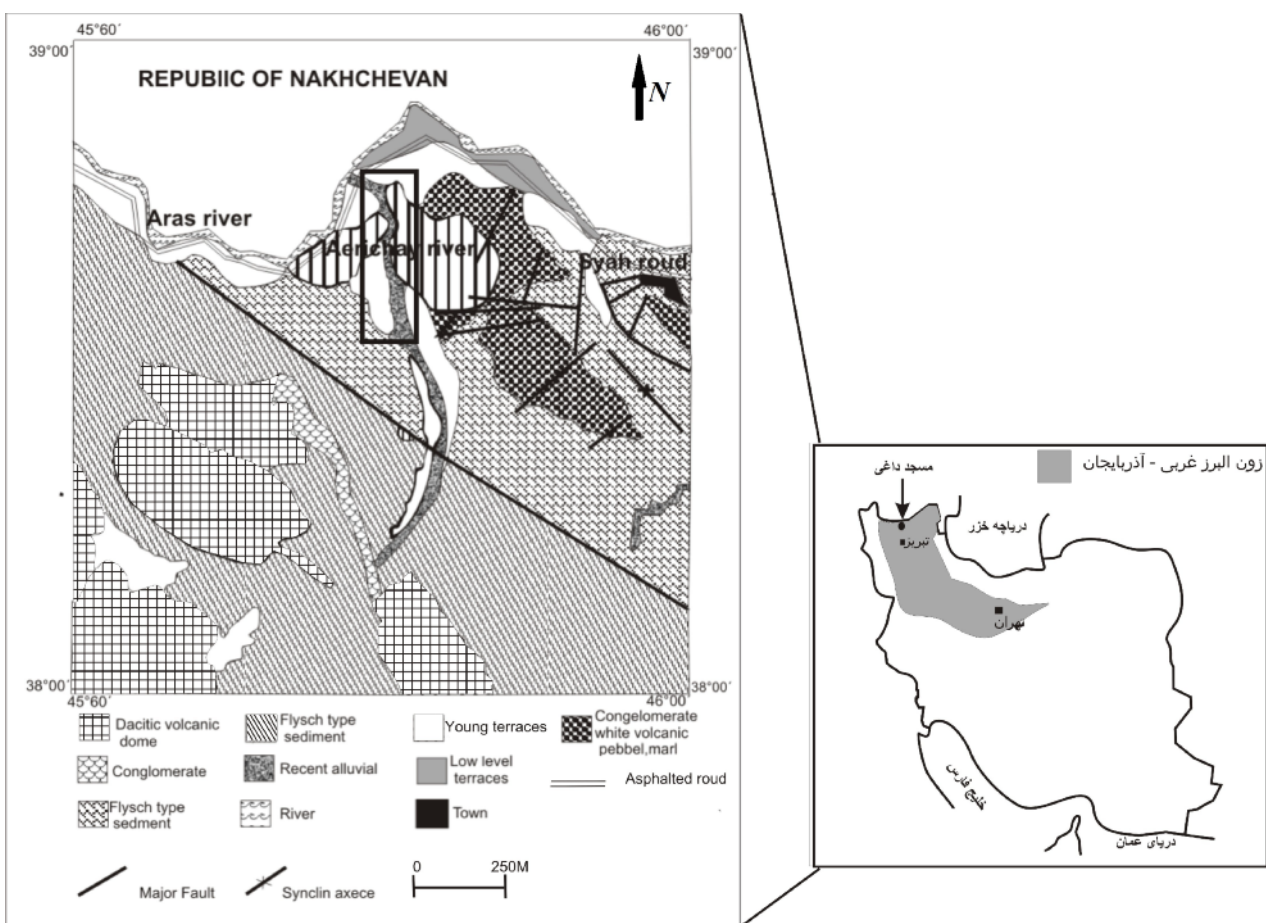
منطقه مسجد داغی شامل مجموعه سنگ‌های آتشفسانی و توده‌های نیمه عمیقی است که در پی جویی‌های انجام شده توسط شرکت پیچاپ کاووش در سال ۱۳۷۹ شناسایی شد [۲۴]. در سال ۱۳۷۹ تا ۱۳۸۳ در طرح پی جویی سراسری مس وابسته به سازمان زمین‌شناسی و پی جویی‌های معدنی کشور تا عمق 200 متری، در این منطقه حفاری کرده‌اند، در سال ۱۳۸۵ به سفارش شرکت صنایع ملی مس ایران 36 چاه پی جویی در این منطقه حفاری شدند. حفاری‌ها تا عمق 700 متری ادامه یافت و با توجه به بررسی‌های انجام شده، این کانسار به عنوان کانسار مس پورفیری معرفی شد. با توجه به اینکه حفاری‌های جدید تا 500 متر عمیق‌تر از حفاری‌های

گدازه‌های آتش‌فشاری ریولیت، داسیت تا تراکی آندزیت قرار گرفته‌اند و سنگ‌های نیمه عمیق مونزونیت و دیوریت با بافت پورفیروئیدی در آن‌ها نفوذ کرده‌اند. سنگ‌های آتش‌فشاری واحدهای سنگی آگلومرا، توف و توده‌های نیمه عمیق وابسته به دوره اوسن-الیگوسن هستند که در برخی مناطق با رسوب‌های کواترنری پوشیده شده‌اند (شکل ۱).

مناطق دارای شکستگی در این گستره به سه دسته رده‌بندی می‌شوند که عبارتند از؛ زون‌های خردشده، زون‌های شکسته و زون‌های کمتر شکسته. روند عمومی گسل‌ها در منطقه در راستای شمال غربی - جنوب شرقی است مهم‌ترین و قدیمی‌ترین واحد سنگ‌شناسی منطقه شامل سنگ‌های فیلیش گونه و آهکی دوران مژوزوئیک - سنوزوئیک‌اند که زیر

جدول ۱ نتایج آنالیز ژئوشیمیایی سنگ‌های آتش‌فشاری و توده‌های نیمه عمیق منطقه‌ی مسجد داغی.

S\$	M01	M02	M08	M16	M34	Ma04	Ma06	Ma07	Ma10	Ma11	Ma14	M40
SiO ₂	64,1	60,7	70,9	66,7	62,2	59,3	60	57,3	59,6	58,4	61,8	63,6
TiO ₂	0,34	0,46	0,2	0,43	0,45	0,38	0,42	0,39	0,47	0,48	0,46	0,5
Al ₂ O ₃	13,9	16,2	14,55	16,3	16,45	14,95	15,85	14,1	15,25	15,75	17,7	15,6
Fe ₂ O ₃	3,07	2,10	0,93	0,66	1,84	1,97	1,70	1,75	1,23	2,19	1,95	1,93
Feo	4,03	2,46	1,17	0,95	2,17	2,32	2,37	2,40	1,61	3,17	2,79	2,52
MnO	0,09	0,32	0,07	0,01	0,19	0,04	0,11	0,04	0,04	0,04	0,13	0,07
MgO	1,36	0,65	0,65	0,54	1,9	2,13	2,02	2,1	2,49	2,72	1,52	1,9
CaO	1,14	2,9	2,77	0,45	2,17	4,97	4,83	6,56	5,41	5,21	1,28	4,78
Na ₂ O	4,41	4,7	4,9	3,36	4,9	4,79	3,66	3,62	4,71	4,59	3,76	3,72
K ₂ O	2,5	2,48	1,98	2,55	3,08	3,79	2,97	3,34	2,52	1,8	2,51	3,29
P ₂ O ₅	0,18	0,21	0,08	0,18	0,26	0,2	0,17	0,22	0,26	0,27	0,26	0,23
Ba	815	1820	671	1775	1600	1100	1130	1075	853	641	1235	909
Rb	54,1	110	53,2	68,5	78,5	83,9	87,7	70,5	79,1	67	79,9	99,7
Sr	6,9	50,8	417	269	956	759	606	1050	887	1045	455	781
Zr	110	116	87	156	130	120	108	102	114	124	146	113
Nb	7,9	8,2	5,9	12,3	10,1	8,4	7,6	8,5	11,1	9,9	10,2	10,9
Ni	15	21	9	3,3	9	14	29	12	16	14	23	13
Co	8,06	17,9	3,3	3,3	9,3	8,6	11,6	8,6	10,1	12,3	10,7	10,7
Zn	254	1785	135	16	122	67	65	48	79	66	426	30
Cr	130	160	400	180	170	180	120	190	130	110	100	150
La	22,3	37,7	17,9	41,1	40,4	32,7	24,3	30,7	32,8	40,1	35,6	36,2
Ce	38	58	31,8	74,1	67,9	53,4	40,7	51,8	53,9	64,9	60,3	63,4
Pr	3,82	6,32	3,31	8,39	7,11	5,45	4,31	5,26	5,56	6,63	6,15	6,68
Nd	13,3	22,2	11,8	27	24,1	18,5	14,8	18	18,9	22,7	21,5	24,7
Sm	2,12	3,4	1,9	2,56	3,19	2,95	2,43	2,71	2,92	3,63	3,27	4,02
Eu	0,7	1,13	0,56	0,58	1,09	0,9	0,7	0,79	0,92	1,08	1,03	1,09
Gd	2,39	3,71	1,82	2,36	3,42	2,72	2,3	2,46	2,85	3,26	3,13	3,81
Tb	0,32	0,44	0,21	0,24	0,44	0,34	0,3	0,32	0,36	0,42	0,42	0,48
Dy	1,77	2,18	0,86	0,94	2,13	1,65	1,53	1,48	1,73	2,02	1,96	2,37
Ho	0,4	0,43	0,16	0,2	0,44	0,33	0,32	0,3	0,36	0,39	0,43	0,47
Er	1,25	1,27	0,41	0,8	1,29	1,03	0,99	0,92	1,12	1,18	1,3	1,38
Tm	0,17	0,18	0,4	0,11	0,16	0,13	0,12	0,12	0,15	0,17	0,17	0,19
Yb	1,34	1,09	0,36	0,98	1,28	1,06	0,98	0,89	1,06	1,1	1,26	1,31
Lu	0,22	0,17	0,6	0,17	0,22	0,17	0,16	0,15	0,17	0,19	0,2	0,22
Y	13,4	10,7	4,3	5,4	11,5	9,4	8,7	8,4	9,5	10,8	11	12,7
Cs	1,25	3,18	3,78	3	3,24	1,74	3,53	14,6	1,52	4,05	20,4	11,8
Ta	0,5	0,5	0,5	0,8	0,6	0,5	0,5	0,5	0,6	0,6	0,6	0,8
Cu	4760	260	42	23	34	727	52	2590	2430	316	1165	39
Ga	16,2	17,8	17,2	18,4	18,5	16,6	17,2	15,6	16	17,4	19,7	16,9
Mo	45	25	3	9	2	15	7	40	111	13	26	5
Pb	56	49	184	19	25	22	16	21	52	20	30	22
Th	10,4	12,7	7,22	21,1	16,15	12,55	10,95	10,35	10,8	16,3	15,6	17,6
U	2,4	3,26	1,92	3,78	4,01	2,46	3,11	2,87	3,08	4,1	2,49	3,65
V	87	119	22	100	112	104	105	96	103	126	119	104
W	6	42	1	4	2	1	2	1	2	3	5	1
Hf	2,6	3,1	2,4	4,2	2,5	3,1	2,8	2,7	3	3,2	3,9	3,2



شکل ۱ نقشه‌ی زمین‌شناسی منطقه‌ی مسجد داغی که از نقشه‌ی ۱/۱۰۰۰۰۰ جلفا گرفته شده است.

و کربنات دگرسان شده‌اند. کانی‌های ارتوکلاز با فراوانی ۲۰ تا ۲۵ درصد ماکل کارلسپاد دارند و بیشتر به کائولینیت تجزیه شده‌اند. در برخی موارد درشت بلورهای فلدسپار حاوی ادخال‌هایی از کانی‌های کوارتز، پلاژیوکلاز، آمفیبول و بیوتیت هستند و بافت پوئیکیلیتیک نشان می‌دهند. در این سنگ‌ها فنوکریستهای کوارتز (۵ تا ۱۰ درصد) معمولاً در کناره‌ها خلیج خودگی نشان می‌دهند و گاهی دارای حاشیه‌ی واکنشی هستند. کانی‌های آمفیبول و بیوتیت (قریباً ۵ درصد) غالباً به صورت فنوکریست حضور دارند و معمولاً به اکتینولیت، کلریت و اکسید آهن دگرسان شده‌اند (شکل ۲).

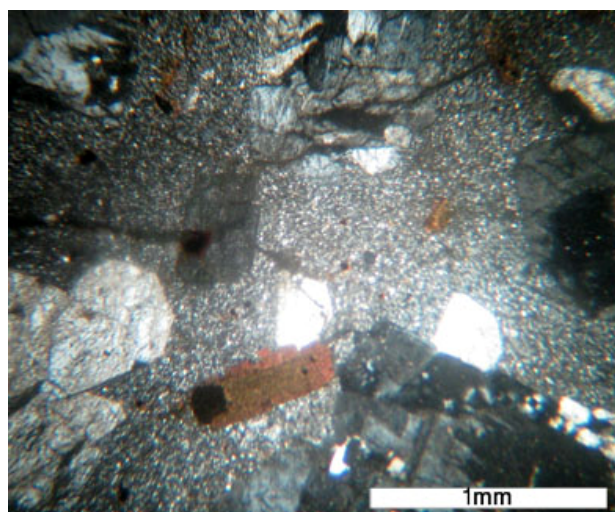
سنگ‌های نیمه عمیق شامل مونزونیت پورفیری تا دیوریت پورفیری هستند و از کانی‌های پلاژیوکلاز، فلدسپار پتاسیم، بیوتیت و آمفیبول و مقادیر کمتری کوارتز تشکیل شده‌اند. این سنگ‌ها دارای بافت پورفیری با زمینه‌ای از

سنگ شناسی

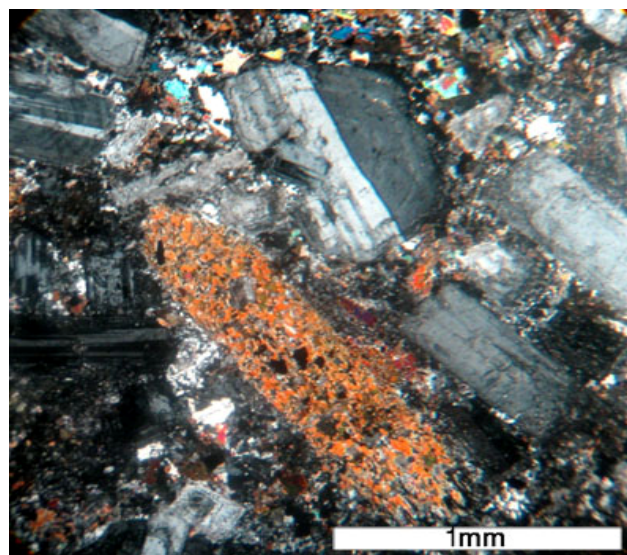
سنگ‌های آتشفسانی مورد بررسی با ترکیب ریولیتی، داسیتی و تراکی آندزیتی دارای بافت پورفیری، غربالی، پوئیکیلیتیک، میکرولیتی و تراکیتی هستند. در این سنگ‌ها فنوکریستهای پلاژیوکلاز، ارتوکلاز، آمفیبول، بیوتیت و مقایر کمی کوارتز درون زمینه‌ای مخفی بلور تا ریز بلور قرار گرفته‌اند. در برخی نمونه‌ها، فنوکریستهای در داخل زمینه‌ای از ریز بلورهای پلاژیوکلاز تیغه‌ای قرار گرفته‌اند و بافت ریز بلور پورفیری نشان می‌دهند. گاهی نیز برادر سمت‌گیری تیغه‌های پلاژیوکلاز بافت تراکیتی به وجود آمده است. حدود ۶۰ تا ۷۰ درصد فنوکریستهای را، درشت بلورهای پلاژیوکلاز تشکیل می‌دهند و اندازه‌ی برخی از آن‌ها به ۱ سانتی‌متر نیز می‌رسد. این بلورها بی‌شک تا شبه شکل دار بوده، دارای ماکل چند ترکیبی و یا ساختار منطقه‌ای هستند و غالباً به کانی‌های سریست، آرژیلیت

تشکیل داده‌اند. آمفیبول به فراوانی در این سنگ‌ها دیده می‌شود. کانی مافیک دیگر در این مجموعه بیوتیت است که گاهی به صورت فنوکریست ولی معمولاً در زمینه سنگ مشاهده می‌شود. در این سنگ‌ها دگرسانی گسترده‌ای رخ داده است به طوری که پلاژیوکلازها غالباً به سریسیت و کربنات و ارتوکلازها معمولاً به کانی‌های رسی آرژیلیت، سریسیت و کائولینیت تجزیه شده‌اند. برخی آمفیبول‌ها به اکتینولیت، بیوتیت، کلریت و اکسید آهن تبدیل شده است در حالی که بیوتیت غالباً به کلریت و اکسید آهن تجزیه شده و معمولاً در حاشیه بلور به وفور دیده می‌شود. در این سنگ‌ها رگه‌های کوارتری و کربناتی همراه با کانی‌های کدر به فراوانی یافت می‌شوند (شکل ۳).

کانی‌های ریز دانه هستند. از دیگر بافت‌های مشاهده شده می‌توان به بافت‌های سری‌ایت و پوئی‌کیلیتیک اشاره کرد. فنوکریست‌های فلدسپار به فراوانی در این سنگ‌ها یافت می‌شوند و حدود ۸۰ درصد فنوکریست‌ها را تشکیل می‌دهند. این بلورها یوهدرال تا سایه‌هدرال بوده، و بیشتر دارای ساختار منطقه‌بندی هستند و منطقه‌بندی قطاعی نشان می‌دهند و معمولاً دارای ادخال‌هایی از کانی‌های مافیک و آپاتیت هستند. ارتوکلازها به دو صورت درشت بلور و ریز بلور دیده می‌شوند. در برخی موارد فنوکریست ارتوکلاز دارای ادخال‌هایی از بیوتیت، پلاژیوکلاز و کانی‌های کدر هستند ریز بلورهای ارتوکلاز معمولاً همراه با کوارتر و بیوتیت زمینه سنگ را



شکل ۲ تصاویر میکروسکوپی از سنگ‌های آتشفشانی مسجد داغی.



شکل ۳ تصاویر میکروسکوپی از سنگ‌های نیمه عمیق مسجد داغی.

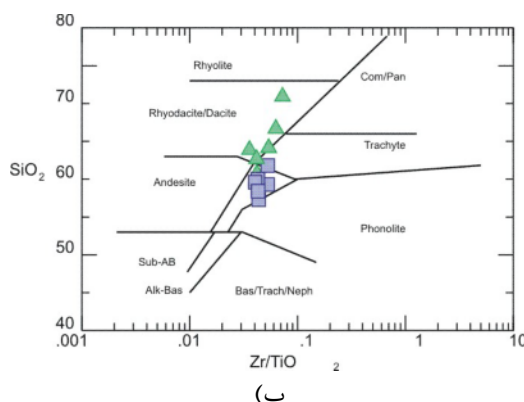
محاسبه شده است.

بیشتر این سنگها در نمودار تغییرات قلیایی نسبت به سیلیس (شکل ۵-الف)، در قلمرو نیمه قلیایی [۲۷] و در نمودار $\text{SiO}_2/\text{FeO}^T/\text{MgO}$ نسبت به SiO_2 (شکل ۵-ب) در گستره‌ی آهکی-قلیایی قرار می‌گیرند [۲۸].

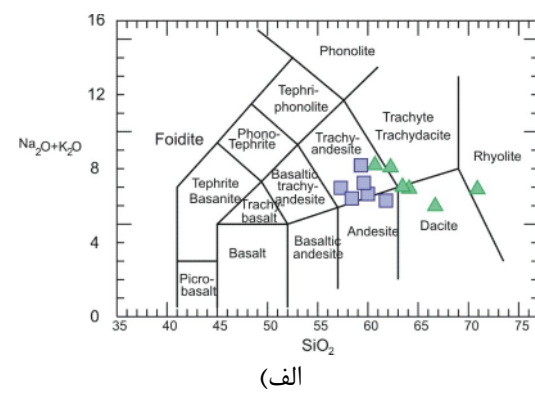
فراوانی عناصر نادر خاکی بهنجار شده نسبت به کندریت [۲۸] در شکل ۶ مشاهده می‌شود. در این نمودارها غنی‌شدگی $\text{Av}:(\text{La}/\text{Yb})(\text{n})$ از HREE نسبت به LREE (~۰.۷) قابل توجهی از Eu ملاحظه می‌شود. در شکل ۷ ۰.۷۲ و اندکی بیهنجاری منفی Eu فراوانی عناصر نادر و نادر خاکی نسبت به گوشته‌ی اولیه [۲۸] بیهنجار شده‌اند. در این نمودارها عناصر LILE نسبت به HFSE و HREE غنی‌شدگی، و عناصر Ti , Nb , Ta و HFSE بیهنجاری منفی نشان می‌دهند.

ژئوشیمی

سنگ‌های آتشفسانی مسجد داغی در نمودار سیلیس نسبت به قلیایی [۲۵] در گستره‌ی ریولیت، داسیت، تراکی‌آندزیت و سنگ‌های نیمه عمیق در قلمرو تراکی‌آندزیت تا آندزیت قرار می‌گیرند (شکل ۴-الف). با توجه به اینکه این اکسیدهای قلیایی متحرک بوده و در برابر دگرسانی و هوازدگی ناپایدارند، لذا برای اطمینان از رده‌بندی انجام شده از عناصری مانند تیتانیم و زیرکنیم که قابلیت تحرک کمتری دارند نیز استفاده کرده‌ایم. بنابر این نمودار [۲۶] سنگ‌های نیمه عمیق در گستره‌ی تراکی‌آندزیت قرار گرفته‌اند (شکل ۴-ب) در نمونه‌های مورد بررسی SiO_2 بیشتر از ۵۷ درصد و Al_2O_3 از ۱۴ تا ۱۶.۵ درصد تغییر می‌کند و میانگین آن حدود ۱۵.۵ درصد

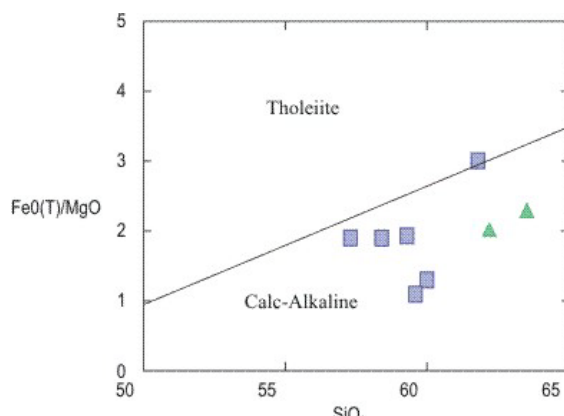


(ب)

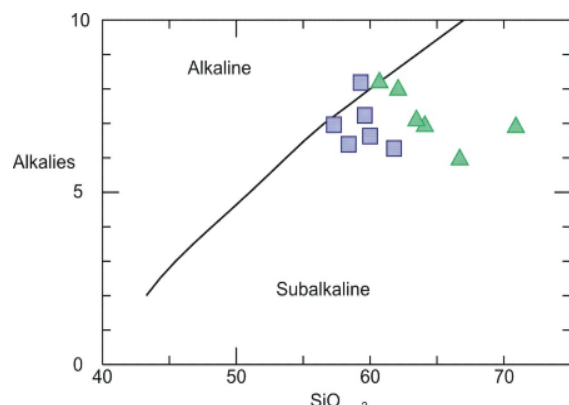


(الف)

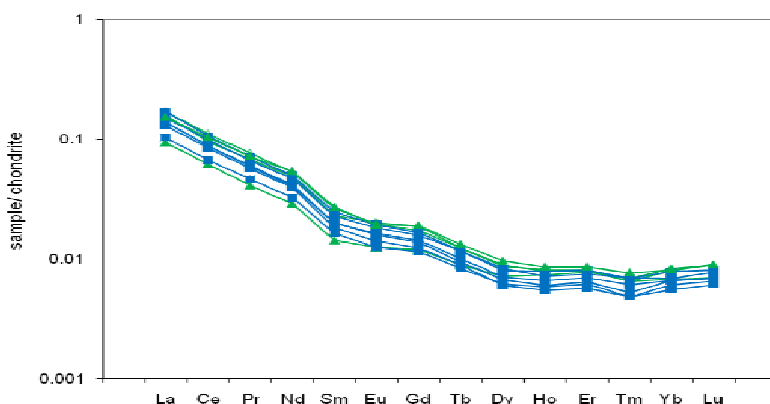
شکل ۴ (الف) نمودار رده‌بندی TAS و (ب) نمودار نام گذاری سنگ‌ها بر اساس عناصر فرعی و نسبت به SiO_2 . علامت مثلث معرف سنگ‌های آتشفسانی و علامت مربع به سنگ‌های نیمه عمیق وابسته است.



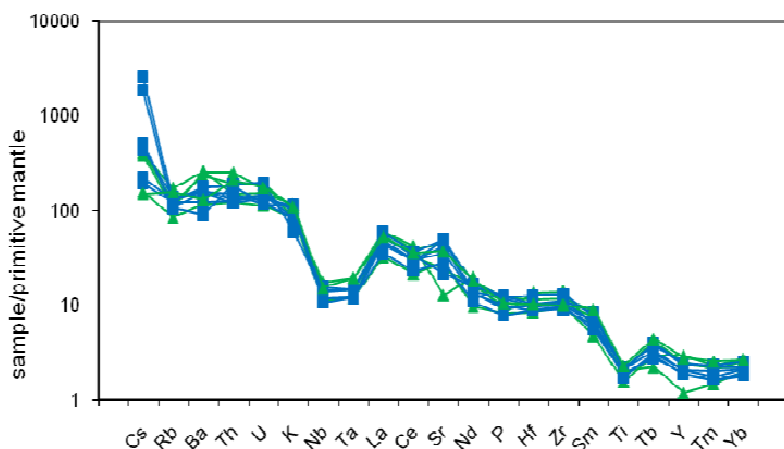
شکل ۵ (ب) نمودار FeOT/MgO نسبت به SiO_2 و جدایی سنگ‌های آهکی-قلیایی از تولئیتی. علامت مشابه شکل ۴ است.



شکل ۵ (الف) نمودار $\text{Na}_2\text{O} + \text{K}_2\text{O}$ نسبت به SiO_2 و جدایی سنگ‌های قلیایی-آهکی قلیایی آکالان. علامت مشابه شکل ۴ است.



شکل ۶ نمودار تغییرات فراوانی عناصر نادر خاکی که نسبت به کندریت بهنجار شده‌اند [۲۹]. عالم مشابه شکل ۴ اند.



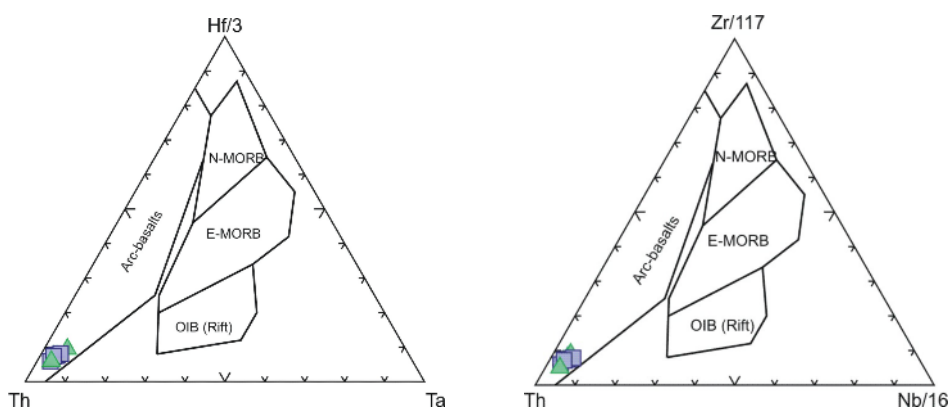
شکل ۷ تغییرات عناصر نادر و نادر خاکی نمونه‌ها که نسبت به گوشتی اولیه بهنجار شده است [۲۹]. عالم مشابه شکل ۴ اند.

به اصطلاح عناصر کم تحرک باشند. چنانچه در شکل ۸ ملاحظه می‌شود، در نمودارهایی که بر پایه‌ی عناصر کم تحرک Th و Nb, Hf, Ta ترسیم شده‌اند، تاثیر دگرسانی و دگرنهادی ناچیزی در آن‌ها گزارش شده است، نمونه‌های مسجدداغی همگی در گستره‌ی محیط‌های زمین‌ساختی وابسته به فرورانش قرار می‌گیرند.

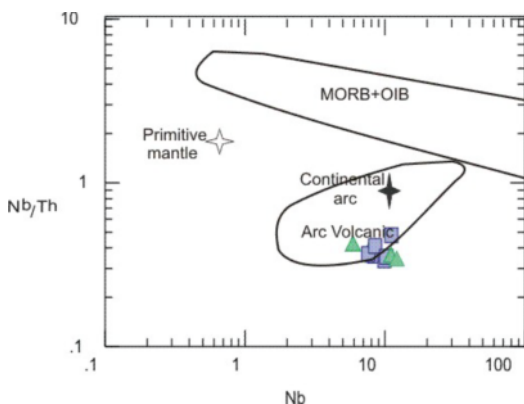
پیرس [۳۲] بهمنظور شناخت بهتر محیط‌های وابسته به فرورانش از ریفت‌های میان اقیانوسی (MORB) و محیط جزایر اقیانوسی (OIB) نمودار تغییرات Nb/Nb-Th نسبت به Nb/Th را پیشنهاد کرده است. بنابر این نمودار، نمونه‌های مورد بررسی در قلمرو آتشفشن‌های وابسته به فرورانش قرار می‌گیرند (شکل ۹). شاندل و گورتن [۳۳] نیز نموداری را پیشنهاد کردند که سنگ‌های حاشیه‌ی فعال قاره‌ای را از آتشفشن‌های درون صفحه‌ای تفکیک می‌کند. بنابر این نمودار سنگ‌های مورد نظر در گستره‌ی حاشیه‌ی فعال قاره‌ای قرار می‌گیرند (شکل ۱۰).

محیط زمین‌ساختی

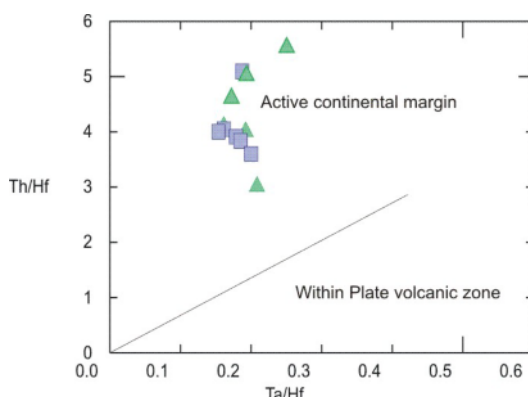
سنگ‌های آتشفشنی و توده‌های نیمه عمیق مورد بررسی در نمودار عادی سازی نسبت به کندریت و گوشتی اولیه دارای غنی‌شدگی قابل ملاحظه‌ای از عناصر LREE و HFSE به LILE و HFSE و بی هنجاری منفی از عناصر Ti, Ta و Nb هستند. این ویژگی‌ها مشابه با ویژگی‌های ژئوشیمیایی سنگ‌هایی است که در محیط وابسته به فرورانش تشکیل شده‌اند [۳۰] علاوه بر آن نسبت Ba/Ta و Ba/Nb در این سنگ‌ها بالا است و مقادیر آن‌ها به ترتیب بین ۷۶ تا ۲۲۰ و ۱۰۰۰ تا ۳۶۰۰ تغییر می‌کند. به عقیده فیتون [۳۱] مقادیر بالاتر از ۲۸ در نسبت Ba/Nb و بالاتر از ۴۵۰ در نسبت Ba/Ta نشان دهنده‌ی محیط حاشیه‌ی فعال قاره‌ای است. برای تعیین جایگاه زمین‌ساختی سنگ‌های آذرین، نمودارهای ژئوشیمیایی مختلفی پیشنهاد شده‌اند ولی بهتر است با ردیبندی نمونه‌های مورد بررسی از عناصری استفاده شود که تحت تاثیر فرآیندهای ثانویه دگرسان و هوازدگی قرار نگیرند و



شکل ۸ نمودارهای سه‌تایی برای جدایی محیط‌های زمین‌ساختی [۳۴] و قرار گیری نمونه‌های مورد بررسی در گستره‌ی فرورانش. علائم مشابه شکل ۴ اند.



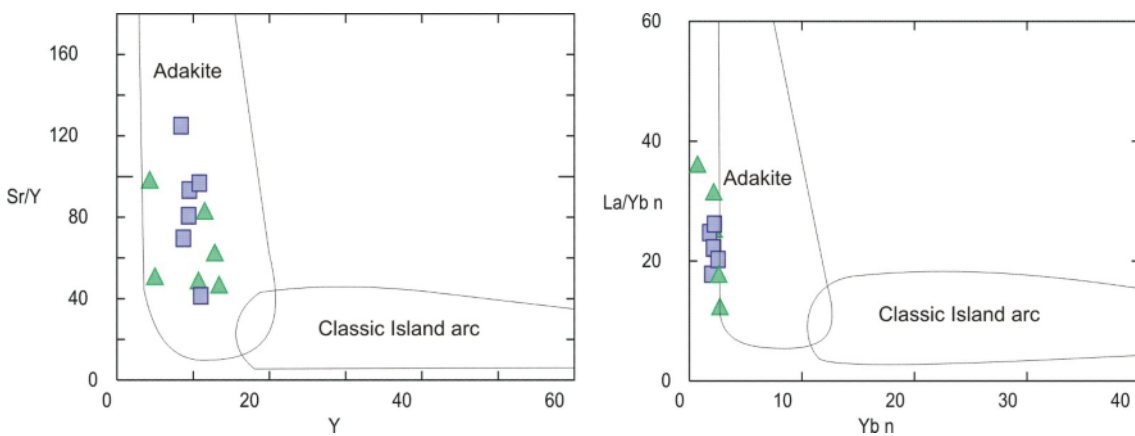
شکل ۹ جدایش محیط زمین‌ساختی کمان آتشفسانی از OIB و MORB. ترکیب گوشته‌ی اولیه از [۳۵]، ترکیب پوسته‌ی قاره‌ای MORB، OIB از [۳۶] علائم مشابه شکل ۴ اند.



شکل ۱۰ جدایشی محیط زمین‌ساختی حاشیه‌ی فعال قاره‌ای از محیط آتشفسانی درون صفحه‌ای [۳۳] علائم مشابه شکل ۴ اند.

نیز توسط [۳] طراحی شده است که آدامیت‌ها را از ماقماهای دیگر تشکیل شده در نواحی فرورانش کلاسیک (ماقماهای حاصل از ذوب گوشته)، تفکیک می‌کند (شکل ۱۱). چنانچه در این شکل ملاحظه می‌کنیم، نمونه‌های مورد بررسی در گستره‌ی آدامیت‌ها واقع شده‌اند.

پتروژنز
سنگ‌های آتشفسانی و توده‌های نیمه عمیق مسجد داغی دارای ویژگی‌هایی چون $\text{SiO}_2 > 57\%$, $\text{MgO} < 3\%$, میزان پایین Y و $(\text{La/Yb})_{\text{N}} < 12$ and $\text{Y} < 13$ and $\text{Yb} < 1.4$, $(\text{Sr}/\text{Y}) < 400$ بالا (Sr) هستند و به عبارتی ویژگی‌های آدامیت‌ها را نشان می‌دهند [۳۷، ۳]. نمودارهایی



شکل ۱۱ نمودارهای جدایشی ماقمایتی از ماقماهای مشتق شده از گوشه‌ی [۳]. علائم مشابه شکل ۴ اند.

پریدوتیت+آدکیت) ماقمایی مشابه با ویژگی‌های ژئوشیمیایی آدکیت‌های کم سیلیس (LSA) به وجود می‌آورند. علاوه بر آن اختلاف ژئوشیمیایی بارزی میان دو گروه آدکیت‌های پر سیلیس و آدکیت‌های کم سیلیس در نمودارهای بهنجار شده REE به کندریت وجود دارد. آدکیت‌های کم سیلیس الگوی جدا یافته‌تری را نسبت به آدکیت‌های پر سیلیس نشان می‌دهد که با نسبت‌های بالاتر Y/Sr و La/Yb نسبت به آدکیت‌هایی کم سیلیس شناسایی می‌شوند. از سوی دیگر آدکیت‌هایی پر سیلیس الگوی HREE مقعری را نسبت به آدکیت‌های کم سیلیس به نمایش می‌گذارند، به طوری که نسبت Yb/Lu در آدکیت‌های کم سیلیس حدود ۱۰ و در آدکیت‌های پر سیلیس حدود ۵ گزارش شده است [۲].

آدکیت‌های قاره‌ای یا پتانسی، طیف گستردگی از سیلیس (کمتر از ۶۰ درصد تا بیش از ۷۵ درصد) دارند و میزان Y و Yb آنها پایین بوده ولی همچنین نسبت Sr/Y (۱۵۰ تا ۱۵۰) و La/Yb بالایی را نشان نمی‌دهند. این آدکیت‌ها میزان K₂O بالایی دارند و نسبت K/Na در آنها از ۰/۷ تا ۰/۲ تغییر می‌کند. آدکیت‌های پتانسی یا قاره‌ای در نواحی فرورانشی ظاهر نمی‌شوند، بلکه معمولاً در محیط‌های برخورد قاره‌ای و یا حرکت‌های گسلی درون قاره‌ها دیده می‌شود. این آدکیت‌ها بر اثر ذوب پوسته‌ی قاره‌ای در عمق بیش از ۱۰ تا ۱۵ کیلوبار و به وجود می‌آیند [۲].

آدکیت‌های آرکئن که براثر فرورانش گرم و از ذوب قطعه فرورانده حاصل شده‌اند، در کمریند گرینستون مشاهده می‌شوند و معمولاً فلزیک بوده و میزان Na₂O بالا و K₂O

به عقیده [۳] ماقمایتی از ذوب پوسته‌ی اقیانوسی گرم و جوان ریشه می‌گیرند. در حالی که پژوهشگران دیگر عقیده دارند که آدکیت‌ها می‌توانند از روش‌های متعددی چون (۱) جدایش ماقمایی [۳۸]، (۲) ذوب پریدوتیت آبدار [۴ و ۳۹]، (۳) آمیزش ماقمای بازالتی با ماقمای فلزیک مشتق از پوسته [۴۰] و (۴) ذوب بخشی پوسته‌ی قاره‌ای پایینی ضخیم همگن شده [۴۰، ۴۱] نیز حاصل شوند. برای تعیین خاستگاه دقیق این سنگ‌ها لازم است ویژگی‌های ژئوشیمیایی آنها به خوبی مورد بررسی قرار گیرد.

به طور کلی آدکیت‌ها به ۴ گروه قابل تقسیم‌اند. آدکیت‌های پر سیلیس (HSA)، آدکیت‌های کم سیلیس (LSA)، آدکیت‌های قاره‌ای یا پتانسی و آدکیت‌های آرکئن. البته گروهی از آندزیت‌های جدا شده ویژگی‌های ژئوشیمیایی آدکیت‌ها را نشان می‌دهند که به شبه آدکیت معروفند. آدکیت‌های پر سیلیس (HSA) از لحاظ ویژگی‌های ژئوشیمیایی حاوی (MgO<3%, SiO₂>56%)، میزان پایین (Sr>400, Yb<1.9) و میزان Sr بالا (Y<18) بوده و با آدکیت‌های پیشنهاد شده توسط [۳] همخوانی دارند. این آدکیت‌ها براثر ذوب بخشی متابازالت‌ها در گستره‌ی پایداری گارنت تشکیل می‌شوند.

آدکیت‌های کم سیلیس، ۵۰ تا ۶۰ درصد سیلیس دارند و نسبت Y/Sr و La/Yb در آنها بالاتر است (به ترتیب ۱۰۰ تا ۳۰۰ و ۴۰ تا ۸۰). بررسی‌های تجربی [۴۳، ۴۴] حاکی از آن است که ذوب گوشه‌ی دگرنهاد شده آدکیتی (مخلوطی از

از پوسته‌ی قاره‌ای ریشه گرفته باشند چرا که نبود بیهنجاری منفی در عناصر Ba, Sr, P, Eu و $\text{Nb}/\text{Zr} > 0.05$ [۴۹] و $\text{Th}/\text{Ce} > 0.15$ [۵۰] را دارند و نیز نسبت Sr/Ce در آن‌ها بالا است. در نمونه‌های مورد نظر، میانگین نسبت Nb/Zr به ترتیب برابر 0.24 ± 0.077 و 0.25 ± 0.077 محاسبه شده است و میزان Sr/Ce بالایی (حدود ۱۳) را نشان می‌دهد که ممکن نیست پوسته‌ی فرورونده در تولید این گونه مagmaها است.

برای تعیین خاستگاه دقیق سنگ‌های آتشفسانی و توده‌های نیمه عمیق از نمودار پیشنهادی مرجع [۵۲] استفاده شد (شکل ۱۳). در این نمودار، نمونه‌های مورد بررسی در گستره‌ی اکلوژیت و آمفیبولیت گارنت‌دار REE / Y واقع شده‌اند و به نظر می‌رسد که ذوب بخشی اکلوژیت و آمفیبولیت گارنت‌دار، خاستگاه اصلی magmaاتیسم مسجد داغی باشد.

در آداکیت‌های پر سیلیس برادر ذوب در فشارهای بالا، بر جامانده‌ی اکلوژیتی با کانی‌های گارنت، کلینوپروکسن و روتیل ایجاد می‌شود در حالی که در فشارهای پایین، بر جا مانده آمفیبولیت گارنت‌دار با کانی‌های آمفیبول و گارنت ایجاد می‌شود. بر جامانده‌ی اکلوژیتی میزان Nb/Ta بالاتری را به خاطر حضور روتیل $[53 - 55]$ نسبت به بر جامانده آمفیبولیتی نشان می‌دهد و نسبت بالای $\text{Nb}/\text{Ta} (14 \pm 4)$ با بر جامانده‌ی اکلوژیتی روتیل‌دار همخوانی دارد. میانگین این نسبت در نمونه‌های مورد بررسی حدود $15/9$ محاسبه شده است که با بر جامانده اکلوژیتی روتیل‌دار هماهنگی بیشتری دارد. سنگ‌های فلزیک و حدواتسطی که با گارنت در حال تعادل‌اند، دارای ویژگی‌های ژئوشیمیایی چون La پایین، میزان بالای Ga, Al₂O₃, Sr/Y, REE پرشیب و قادر بیهنجاری منفی Eu هستند که یا بر اثر ذوب لیتوسفر فرورونده گرم و جوان و یا ذوب بخشی گرانولیت پوسته‌ی پایینی مشتق می‌شوند [۳, ۵۶]. این ویژگی‌های ژئوشیمیایی با magmaاتیسم مسجد داغی همخوانی دارد و از طرفی براساس آنچه گفته شد خاستگاه گرانولیت پوسته‌ی پایینی برای تشکیل این magmaها محدود شناخته شده است، بنابر این خاستگاه اصلی تولید این سنگ‌ها را می‌توان ذوب لیتوسفر فرور رونده گرم و جوان در نظر گرفت.

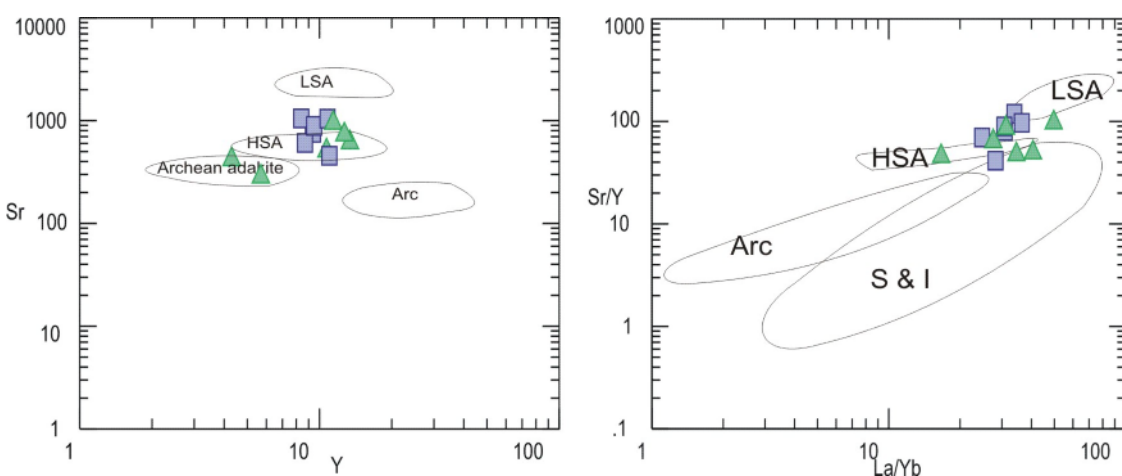
پایینی دارند ($\text{K}_2\text{O}/\text{Na}_2\text{O} \sim 0.3 - 0.4$) و نسبت Sr/Y بالایی را نشان می‌دهند، بنا بر این تحت عنوان آداکیت معرفی شده‌اند [۲].

ریچارد و کریچ [۴۵] عقیده دارند که بخش بزرگی از magmaهای آهکی-قلیایی جدا شده به گستره‌ی آداکیت‌ها وارد می‌شوند، زیرا جدایش آمفیبول و گارنت موجب کاهش Y و HREE در magma می‌شود و نمی‌توان به آن آداکیت واقعی عنوان کرد. از مقایسه‌ی این آداکیت‌ها با آداکیت‌های واقعی می‌توان گفت که در این آداکیت‌ها La/Yb کمتر از Sr/Y بوده در حالی که در آداکیت‌های واقعی بر خلاف آن است.

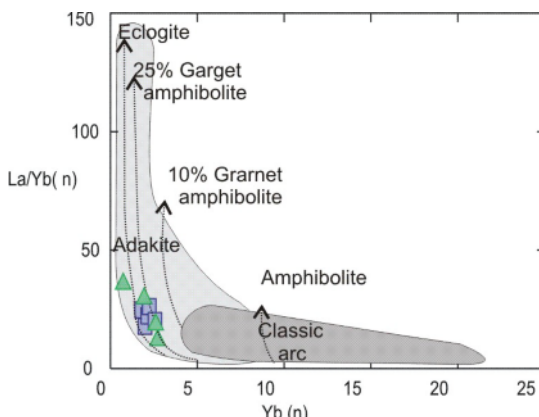
با توجه به آنچه که گفته شد، در می‌باییم که سنگ‌های آتشفسانی و توده‌های نیمه عمیق دارای ویژگی‌های ژئوشیمیایی مشابه با آداکیت‌های پر سیلیس (HSA) هستند، زیرا از یک طرف میزان سیلیس آن‌ها بیشتر از ۵۶ درصد است و از طرف دیگر الگوی REE آن‌ها، جدایی شدیدی نشان نمی‌دهد ولی الگوی HREE مقعری را به نمایش می‌گذارد (شکل ۴) و میزان Yb/Lu برابر ۵ به دست آمده که با HSA هماهنگی بیشتری دارد. علاوه بر آن میزان سیلیس این نمونه‌ها و نسبت پایین K/Na (با میانگین 0.42 ± 0.04) آن‌ها اختلاف فاحشی را با آداکیت‌های قاره‌ای (پتساسی) به نمایش می‌گذارد. همچنین میزان بالای Sr/Y نسبت به La/Yb با magmaهای آهکی-قلیایی جدایشی سازگاری ندارد.

نمودارهای تغییرات Y نسبت به Sr و La/Y نسبت به Sr/Y (شکل ۱۲) گستره‌های وابسته به نواحی فرورانش بهنجار، آداکیت‌های پر سیلیس (HSA)، آداکیت‌های کم سیلیس (LSA) و آداکیت‌های آرکن را از هم جدا می‌کنند [۲]. چنانکه ملاحظه می‌شود بیشتر نمونه‌ها در گستره آداکیت‌های HSA و نزدیک به آن قرار گرفته‌اند.

همه‌ی این شواهد تایید کننده‌ی آن است که نمونه‌های مسجد داغی با آداکیت‌های پر سیلیس شباهت زیادی دارند. بنابر این این سنگ‌ها نه از خاستگاه گوشه‌ای (مطابق با آداکیت‌های LSA) و نه از خاستگاه پوسته‌ی قاره‌ای (مطابق با آداکیت‌های قاره‌ای)، بلکه بر اثر ذوب بخشی پوسته‌ی اقیانوسی فرورونده (متابالالتی گارنت‌دار) حاصل شده‌اند. این نمونه‌ها در نمودارهای عناصر نادر و نادر خاکی بهنجار شده به گوشه‌ی اولیه و کندریت، بیهنجاری منفی Ba, Sr, P و Eu نشان نمی‌دهد و بنا بر این نمی‌توان گفت که مجموعه‌ی مورد بررسی



شکل ۱۲ نمودارهای تغییرات Y نسبت به Sr و تفکیک خاستگاه فرورانش بهنجار، آدکیت کم سیلیس-پرسیلیس، آدکیت آرکئن [۲]. علائم مشابه شکل ۴ اند.



شکل ۱۳ نمودار تغییرات (La/Yb(n)) نسبت به (Yb(n)) [۵۲] علائم مشابه شکل ۴ اند.

برداشت $\text{La}/\text{Yb} > 20$, $\text{Sr}/\text{Y} > 40$, $\text{Yb} < 1.4$, K/Na (میانگین ۰/۴۲)، نشان دهنده‌ی شباهت بسیار زیاد

نمونه‌ها با آدکیت پرسیلیسی است که توسط دراموند و دفاتر [۲] معرفی شده‌اند. همچنین نبود الگوی جدایشی شدید در نمودار REE بهنجار شده به کندریت و الگوی HREE مقرر نیز تایید کننده‌ی این است که بر اساس شواهد بالا به نظر می‌رسد که سنگ‌های مورد بررسی از ذوب پوسته اقیانوسی با ترکیب اکلوزیت و آمفیبولیت گارنت‌دار حاصل شده باشند.

قدرتانی

نگارنده‌گان این مقاله از مدیریت محترم امور اکتشافات و امور تحقیق و توسعه شرکت ملی صنایع مس ایران به خاطر حمایت مالی از این پروژه تشکر و قدردانی می‌نمایند. به جاست مؤلفین از هیئت تحریریه و داوران محترم مجله بلورشناسی و کانی‌شناسی ایران نیز سپاسگذاری نمایند.

سنگ‌های آتشفسانی مسجد داغی از نظر سنگ‌شناسی شامل ریولیت، داسیت تا تراکی آندزیت و توده‌های نیمه عمیق با ترکیب مونزونیت پورفیری تا دیوربیت پورفیری می‌شود. این سنگ‌ها ماهیت آهکی-قلیایی داشته، الگوی گوشته‌ی اولیه در نادر و نادر خاکی بهنجار شده به کندریت و گوشته‌ی آنها از آن‌ها نشان دهنده‌ی غنی‌شدگی این سنگ‌ها از LREE و HFSE، تهی‌شدگی آن‌ها از HREE و LILE و وجود بیهنجاری Ti، Nb و Ta در این نمونه‌هاست. نسبت بالای Ba/Ta و Ba/Nb در کنار موقعیت نمونه‌ها روی نمودارهای مختلف، تمایز محیط زمین‌ساختی، حاکی از شکل‌گیری سنگ‌های مورد بررسی در محیطی واپسنه به با فرورانش در حاشیه‌ی فعال قاره‌ای است. ویژگی‌های ژئوشیمیایی چون $\text{Yb} / \text{MgO} < 3$, $\text{SiO}_2 / \text{Y} < 13$ و $\text{Y} / \text{SiO}_2 < 57$

- [11] Wang Q., et al., "Petrogenesis of carboniferous adakites and Nb-enriched arc basalts in the Alataw area, northern Tianshan Range (western China): implications for Phanerozoic crustal growth in the central Asia orogenic belt.", *Chemical Geology* 236 (2007b) 42–64. ##
- [12] Xiao L., et al., "Late Triassic granitoids of the eastern margin of the Tibetan Plateau: geochronology, petrogenesis and implications for tectonic evolution.", *Lithos* 96 (2007) 436–452. ##
- [13] Puchel I., et al., "Combined mantle plume-island arc model for the formation of the 2.9 Ga Sumozero-Kenozero greenstone belt, SE Baltic shield: isotope and trace element constraints.", *Geochimica et Cosmochimica Acta* 63, (1999) 3579–3595. ##
- [14] Polat A., Munker C., "Hf–Nd isotope evidence for contemporaneous subduction processes in the source of late Archean arc lavas from the Superior Province", Canada. *Chemical Geology* 213 (4) (2004) 403–429. ##
- [15] Naqvi S.M., Khan R.M.K., Manikyamba C., Ram Mohan M., Khanna T.C., "Geochemistry of the neoarchaean high-mg basalts, boninites and adakites from the Kushtagi–Hungund greenstone belt of the eastern Dharwar craton (EDC); implications for the tectonic setting.", *Journal of Asian Earth Sciences* 27 (2006) 25–44. ##
- [16] Polat A., Kerrich R., "Reading the geochemical fingerprints of Archean hot subduction volcanic rocks: evidence for accretion and crustal recycling in a mobile tectonic regime.", In: K. Benn, J.-C. Mareschal and K.C. Condie (Editors), *Archean geodynamics and environments*. American Geophysical Union Monographs. American Geophysical Union, (2006) pp. 189–213. ##
- [17] Ujike O., Goodwin A.M., Shibata T., "Geochemistry and origin of Archean volcanic rocks from the upper Keewatin assemblage (ca. 2.7 Ga), Lake of the Woods greenstone belt", western Wabigoon subprovince, Superior Province, Canada. *Island Arc* 16, 191–208. ##
- [18] Manikyamba C., Kerrich R., Khanna T.C., Keshav Krishna K., Satyanarayanan M., "Geochemical systematics of komatiite–tholeiite and adakitic-arc basalt associations: the role of a mantle plume and convergent margin in formation of the Sandur Superterrane", Dharwar craton, India. *Lithos* 106 (1–2) (2008) 155–172. ##
- [19] Morris J.D., "Slab melting as an explanation of Quaternary volcanism and aseismicity in

مراجع

- [1] Kay R.W., "Aleutian magnesian and esites–melts from subducted Pacific Ocean crust.", *Journal of Volcanology and Geothermal Research* 4 (1978) 117–132. ##
- [2] Jean-François Moyen, "High Sr/Y and La/Yb ratios: The meaning of the “adakitic signature”, *Lithos* 112 (2009) 556–574. ##
- [3] Defant M.J., Drummond M.S., "Derivation of some modern arc magmas by melting of young subducted.", *Nature* 367 (1990) 662–665. ##
- [4] Martin H., Smithies R.H., Rapp R.P., Moyen J.-F., Champion D.C., "An overview of adakite, tonalite–trondhjemite–granodiorite (TTG) and sanukitoid: relationships and some implications for crustal evolution.", *Lithos* 79 (1–2) (2005) 1–24. ##
- [5] Rapp R., Xiao L., Shimizu N., "Experimental constraints on the origin of potassium-rich adakites in eastern China.", *Acta Petrologica Sinica* 18 (2002) 293–302. ##
- [6] Xu Y.G., et al., "Crust–mantle interaction during the tectono-thermal reactivation of the North China craton: constraints from SHRIMP U–Pb zircon chronology and geochemistry of Mesozoic plutons from Western Shandong.", *Contributions to Mineralogy and Petrology* 147 (2004) 750–767. ##
- [7] Zhou M.F., Yan D.P., Wang C.L., Qi L., Kennedy A., "Subduction-related origin of the 750 Ma Xuelongbao adakitic complex (Sichuan Province, China): implications for the tectonic setting of the giant Neoproterozoic magmatic event in South China." *Earth and Planetary Science Letters* 248 (2006) 286–300. ##
- [8] Ding L., Kapp P., Yue Y., Lai Q., "Postcollisional calc-alkaline lavas and xenoliths from the Southern Qiangtang terrane", central Tibet. *Earth and Planetary Science Letters* 254 (2007) 28–38. ##
- [9] Gao Y., et al., "Adakite-like porphyries from the southern Tibetan continental collision zones: evidence for slab melt metasomatism.", *Contributions to Mineralogy and Petrology* 153 (2007) 105–120. ##
- [10] Wang Q., et al., "Triassic Nb-enriched basalts, magnesian andesites, and adakites of the Qiangtang terrane (Central Tibet): evidence for metasomatism by slab-derived melts in the mantle wedge.", *Contributions to Mineralogy and Petrology* 155 (4) (2007a) 473–490. ##

- States.*", Journal of Petrology, Special lithosphere issue, pp. 331–349. ##
- [32] Pearce J.A., "The role of sub-continental lithosphere in magma genesis at destructive plate margins.", In: Hawkesworth. C.J., Norry, M.J. Eds. Continental basalts and mantle xenoliths. Shiva, Nantwich. (1983) 230–249. ##
- [33] Shand E.S. Gorton M.P., "Application of high field strength elements to discriminate tectonic setting in VMS environment", Economic geology, 97 (2002) 629-642. ##
- [34] Wood D.A., "The application of a Th-Hf-Ta diagram to problems of tectonomagnetic classification and to establishing nature of basaltic lavas of the British Tertiary Volcanic Province Earth Planet.", Sci.Lett., 50 (1980) 11-30. ##
- [35] Hofmann AW., "Chemical differentiation of the Earth. The relationship between mantle", continental crust and oceanic crust. Earth Planet Sci Lett 90 (1988) 297–314. ##
- [36] Schmidberger SS, Hegner E., "Geochemistry and isotope systematics of calc-alkaline volcanic rocks from the Saar-Nahe basin (SW Germany)-implications for Late-Variscan orogenic development.", Contrib Mineral Petr 135 (1999) 373–385. ##
- [37] Stern C.R., Kilian R., "Role of the subducted slab, mantle wedge and continental crust in the generation of adakites from the Andean Austral Volcanic Zone.", Contrib. Mineral. Petrol. 123 (1996) 263–281. ##
- [38] Castillo P.R., Janney P.E., Solidum R.U., "Petrology and geochemistry of Camiguin Island, southern Philippines: insights to the source of adakites and other lavas in a complex arc setting." Contrib. Mineral. Petrol. 134 (1999) 33–51. ##
- [39] Stern R.A., Hanson G.N., "Archean high-Mg granodiorite: a derivative of light rare earth element-enriched monzodiorite of mantle origin.", J. Petrol. 32 (1991) 201–238. ##
- [40] Guo F., Nakamuru E., Fan W., Kobayashi K., Li C., "Generation of Palaeocene adakitic andesites by magma mixing; Yanji Area, NE China.", J. Petrol. 48 (2007) 661–692. ##
- [41] Xu J.-F., Shinjo R., Defant M.J., Wang Q., Rapp R.P., "Origin of Mesozoic adakitic intrusive rocks in the Ningzhen area of east China: partial melting of delaminated lower continental crust?", Geology 30 (12) (2002) 1111–1114. ##
- [42] Chung S.L., Liu D.Y., Ji J.Q., Chu M.F., Lee H.Y., Wen D.J., Lo C.H., Lee T.Y., Qian Q., Zhang Q., "Adakites from continental collision zones: melting of thickened lower crust beneath southwestern Japan.", Geology 23 (1995) 395–398. ##
- [20] Maury R., Sajona F.G., Pubellier M., Bellon H., Defant M.J., "Fusion de la croûte océanique dans les zones de subduction/collision récentes: l'exemple de Mindanao (Philippines).", Bulletin de la Société Géologique de France 167 (1996) 579–595. ##
- [21] Martin H., "The adakitic magmas: modern analogues of Archaean granitoids.", Lithos 46 (3) (1999) 411–429. ##
- [22] Peacock S.M., "Fluid processes in subduction zones.", Science 248 (1990) 329–337. ##
- [۲۳] برنا ب.، محمدی ب.، "پژوهه اکتشاف طلا و مس در زون ارسپاران"، گزارش نقشه زمین شناسی ۱۱۰۰۰ /۱ و حفاری های انجام شده در مسجد داغی (سیه رود جلفا)، سازمان زمین شناسی و اکتشافات معدنی کشور، طرح اکتشاف سراسری ذخایر فلز، (۱۳۸۴) ص ۱-۱۱۲ ##
- [۲۴] اکبرپور ا.، رسا ا.، پرتو م.، محمدی ب.، "بررسی کانی زایی طلا در محدوده مسجد داغی جلفا، فصل نامه علوم زمین، شماره ۱ (۱۳۸۵) ص ۴۲-۵۱ ##
- [25] Le Maitre R. W., "A Classification of Igneous Rocks and Glossary of Terms, Blackwell", Oxford. 1989. ##
- [26] Winchester J.A., Floyd P.A., "Geochemical discrimination of different magma series and their differentiation products using immobile elements.", Chemical Geology, 20 (1977) 325–343. ##
- [27] Irvine T.N., Baragar W.R.A., "A guide to the chemical classification of the common volcanic rocks.", Can. J. Earth Sci. 8 (1971) 523-548. ##
- [28] Miyashiro A., "Volcanic rock series in island arcs and continental margins.", American Journal of Science 274 (1974) 321–355. ##
- [29] Sun S.S., McDonough W.F., "Chemical and isotopic systematics of oceanic basalts: implications for mantle composition and processes.", In: for mantle processes. Saunders, A.D., Norrey, M.J. (eds.), Magmatism in the Ocean Basins. Geol. Soc. London Spec. Publ. 42 (1989) 313-345. ##
- [30] Pearce J.A., Harris N.B.W., Tindle A.G., "Trace element discrimination diagrams for the tectonic interpretation of granitic rocks.", J. Petrol. 25: 956–983. Wilson, 1989. ##
- [31] Fitton J.G., James D., Kempton P.D., Ormerod D.S., Leeman W.P., "The role of lithospheric mantle in the generation of Late Cenozoic basic magmas in the Western United

- and assimilation of continental material.", J. Geophys. Res. 98 (1993) 22349– 22366. ##*
- [51] Elburg M.A., Bergen M.V., Hoogewerff J., Foden J., Vroon P., Zulkarnain I., Nasution A., "Geochemical trends across an arc-continent collision zone: magma sources and slab-wedge transfer processes below the Pantar Strait volcanoes", Indonesia. *Geochemica et Cosmochimica Acta* 66 (2002) 2771–2789. ##
- [52] Defant M.J., Drummond M.S., "Mount St. Helens: potential example of the partial melting of the subducted lithosphere in a volcanic arc.", *Geology* 21 (1993) 547–550. ##
- [53] Foley S.F., Barth M.G., Jenner G.A., "Rutile/melt partition coefficients for trace elements and an assessment of the influence of rutile on the trace element characteristics of subduction zone magmas.", *Geochimica et Cosmochimica Acta* 64 (2000) 933–938. ##
- [54] Foley S., Tiepolo M., Vannucci R., "Growth of early continental crust controlled by melting of amphibolite in subduction zones.", *Nature* 417 (2002) 837–840. ##
- [55] Schmidt M.W., Dardon A., Chazot G., Vannucci R., "The dependence of Nb and Ta rutile-melt partitioning on melt composition and Nb/Ta fractionation during subduction processes.", *Earth and Planetary Science Letters* 226 (2004) 415–432. ##
- [56] M. Teklay Kroner, A. Mezger K., "Geochemistry, geochronology and isotope geology of Nakfa intrusive rocks, northern Eritrea: products of a tectonically thickened Neoproterozoic arc crust", *Journal of African Earth Sciences*, Vol. 33, No. 2, (2001) pp. 283-301. ##
- southern Tibet.", Geology* 31 (2003) 1021–1024. ##
- [43] Rapp R., Shimizu N., Norman M.D., Applegate G.S., "Reaction between slab-derived melts and peridotite in the mantle wedge: experimental constraints at 3.8 GPa.", *Chemical Geology* 160 (2000) 335–356. ##
- [44] Rapp R., Yaxley G., Norman M.D., Shimizu N., "Comprehensive trace element characteristics of experimental TTG and sanukitoid melts. Sixth International Hutton Conference on the origin of granitic rocks", Stellenbosch, South Africa. 2007. ##
- [45] Richards J.R., Kerrich R., "Special paper: Adakite-like rocks: their diverse origins and questionable role in metallogenesis.", *Economic Geology* 102 (4) (2007) 537–576. ##
- [46] Pe-Piper G., Piper D.J.W., Matarangas D., "Regional implications of geochemistry and style of emplacement of Miocene I-type diorite and granite", Delos, Cyclades, Greece. *Lithos.* 60 (2002) 47–66. ##
- [47] White A.J.R., Chappell B.W., "Granitoid types and their distribution in the Lachlan Fold Belt, southeastern Australia", *Geological Society American Memory.* 159 (1983) 21-34. ##
- [48] Chappell B.W., White A.J.R., "I and S-type granites in the Lachlan Fold Belt.", *Trans. R. Soc. of Edinb. Earth Sci.* 83 (1992) 1-26. ##
- [49] Hawkesworth C.J., Turner S.P., McDermott F., van Calsteren P., "U–Th isotopes in arc magmas: implications for element transfer from the subducted crust.", *Science* 276 (1997) 551–555. ##
- [50] Vroon P.Z., VanBergen M.J., White W.M., Varekamp J.C., "Sr–Nd–Pb isotope systematics of the Banda Arc, Indonesia: combined subduction